

Clave de convenio: C/PFCE-2019-11MSU0013Z-06-17

Proyecto: "Consolidación de la Competitividad Académica de la Universidad de Guanajuato"

Clave de Proyecto: P/PFCE-2019-11MSU0013Z-01

1.- Valoración General del avance o cumplimiento académico del proyecto

El cumplimiento académico del proyecto se pondera favorablemente, al alcanzarse de manera satisfactoria las metas asociadas. A continuación de manera general se precisan los resultados En el proyecto de transformación de la práctica docente <<VANGUARDIA UG>>, que logro acreditar 288 profesores, cifra que se encuentra por encima de la propuesta e el proyecto. Acción que contribuye al fortalecimiento de la planeación de la practica docente, la evaluación progresiva de los aprendizajes, así como el diseño de estrategias didácticas. Con la creación de material didáctico digital para video clases, objetos de aprendizaje, podcast y realidad aumentada se impacte favorablemente en la flexibilidad de los programas educativos. En una primera etapa del proyecto de Centros para la integración de la Multimodalidad Educativa (CIME), fue posible establecer centros de asesoría para los estudiantes que cursan Unidades de Aprendizaje multimodales (semipresenciales y a distancia) en los campus de Irapuato-Salamanca y Celaya-Salvatierra. Respecto a la evaluación de los aprendizajes, se aplicaron 128 exámenes generales de egreso (EGEL) para estudiantes de nivel superior; 30 para la Licenciatura en Enfermería y Obstetricia, 4 para Ingeniería Civil, 18 para la licenciatura en Nutrición, 12 para la licenciatura en Psicología, 12 para la licenciatura en Administración, 22 para la licenciatura en Contador Público, 4 para la licenciatura en Mercadotecnia, 3 para la licenciatura en Ciencia Política y Administración Pública, 1 para Ciencias Agrícolas, 3 para ingeniería en Sistemas Computacionales, 6 para Ingeniería Eléctrica, 2 para Ingeniería Electrónica, 7 para Ingeniería Mecánica y 4 para Ingeniería Mecatrónica. A través del Ecosistema de Vinculación, Innovación, Desarrollo y Aplicación del conocimiento (VIDA UG), fue posible avanzar en la vinculación académica en distintas áreas y disciplinas para dar respuestas a las necesidades de los sectores social, productivo y gubernamental. Por ello se atendieron acciones pertinentes como la impartición de talleres para capacitar a profesores en <<Desarrollo de emprendimientos tecnológicos y su comercialización desde la UG>> talleres en el mejoramiento de las competencias profesionales de los estudiantes de los Campus de la UG que están próximos a egresar facilitándole su incisión al mercado laboral. De igual manera se celebró una conferencia <<4x4 Emprendedores todo terreno lo que nadie te ha dicho para emprender. Se dio continuidad al tema del emprendimiento entre los estudiantes, invitando a la comunidad estudiantil para abordar un proyecto empresarial. Por último, en el objetivo del Sistema Bibliotecario se puede ver los logros y los cimientos de nuevos proyectos. El sistema Bibliotecario beneficia a la comunidad estudiantil y académica de la UG, tanto como a la sociedad que no forma parte de la comunidad universitaria, por lo que la integración y el crecimiento del sistema Bibliotecario es necesario para mejora del entorno. Prueba de la eficiencia del sistema Bibliotecario es cubrir con sus metas correspondientes al proyecto. Se vieron beneficiadas 28 bibliotecas con volúmenes de libros nuevos para hacer crecer el acervo que se pone al servicio de los integrantes de la comunidad universitaria. Para ello se cuenta con la infraestructura que permite su fácil acceso, resguardo y control de circulación.

2.- Problemas atendidos

TRAYECTORIA ESTUDIANTIL. Se establece el Programa Institucional de Tutoría, cuyo objetivo es ofrecer el acompañamiento académico y humano para contribuir a su egreso en los tiempos establecidos en su plan de estudios. El Programa Institucional de Tutoría se irá incorporando gradualmente y corresponde a los Tutores dar visto bueno al estudiante en los procesos de preinscripción, inscripción, alta y baja de UDA, sustentar exámenes de competencia suficiente, para el trámite de recusación de profesor, el trámite de apoyo de contingencia; así como para el egreso y titulación, entre otros. El tutor en servicio social y prácticas valida el proyecto y el reporte final de ambos procesos; mientras que para movilidad, da visto bueno al proyecto de UDA a convalidar. Asimismo, el Consejo General Universitario emitió un acuerdo que ha iniciado vigencia, mediante el cual se fortalecen los procesos institucionales para que los estudiantes desarrollen competencias de una segunda lengua y su nivel de dominio sea acreditada para los programas educativos, tomando como referencia el Marco Común Europeo. PROGRAMAS EDUCATIVOS. Para garantizar la calidad, pertinencia, vigencia y viabilidad de los programas educativos, se establecen mecanismos de evaluación permanente para su creación, actualización, modificación, suspensión o supresión, creando a ese efecto una Comisión Universitaria de Pertinencia y Viabilidad, con facultades de análisis y dictamen de su pertinencia, viabilidad y factibilidad institucional que aportará insumos a la toma de decisiones de los órganos colegiados competentes. EVALUACIÓN DOCENTE. Se ha iniciado a operar un modelo de evaluación que valora el desempeño del profesor y traza un plan de desarrollo de su actividad docente en un ciclo de valoración-formación-acompañamiento. La evaluación tiene como finalidad última el reconocimiento del desempeño del profesor y la orientación de la formación docente para la mejora de los aprendizajes. Derivado del modelo institucional de evaluación referido, se aplican nuevos instrumentos de evaluación, con una nueva escala de evaluación y criterios de participación proporcionales al número de

estudiantes inscritos por UDA. EFICIENCIA TERMINAL Y TITULACIÓN. Por lo que hace a los grados de técnico superior universitario, licenciatura y especialidad, el haber acreditado íntegramente el plan de estudios y demás requisitos académicos de egreso establecidos en el programa educativo, constituye evidencia suficiente de una trayectoria académica exitosa que amerita la obtención del reconocimiento o en su caso, del grado.

3.- Fortalezas aseguradas

EVALUACIÓN DEL APRENDIZAJE. En concordancia con la cultura de evaluación permanente que distingue a la Universidad, se introduce el concepto de evaluación académica progresiva concebido como un proceso de diagnóstico, formativo y sumativo que requiere, a lo largo de toda unidad de aprendizaje, el uso de mecanismos e instrumentos diversos de evaluación, sin limitarse exclusivamente al uso de exámenes para evidenciar el aprendizaje obtenido por los estudiantes. **SERVICIO SOCIAL.** Se resignifica el servicio social. Actualmente está integrado por dos componentes: El primer componente corresponde a 100 horas de Servicio Social que deberán cumplir los estudiantes de técnico superior universitario y de licenciatura a partir de su primera inscripción y hasta antes de cubrir el 50% de los créditos de su programa educativo. La segunda componente comprende 480 horas del Servicio Social para efectos del egreso oportuno y obtención del grado, que deben realizar los estudiantes de Técnico Superior Universitario y de Licenciatura, en un periodo no menor a seis meses ni mayor a dos años. **FORMACIÓN DOCENTE.** Existe una oferta permanente de cursos presenciales y en línea dirigidos a los profesores para contribuir a que desarrollen experiencias de aprendizaje y recursos didácticos acordes a las modalidades del programa educativo en el que participan y enriquezcan los procesos pedagógicos de las unidades a su cargo;

4.- Desarrollo y continuidad de programas educativos de calidad

Con la participación de profesores, en el Reglamento Académico vigente a partir de enero de 2019, se regula la figura de un Comité Académico por programa educativo, el cual velará por el aseguramiento de la calidad, proponiendo mejoras pertinentes. Los programas educativos cuentan con un coordinador designado por el Rector General a propuesta de los Directores de División o del Director del Colegio del Nivel Medio Superior, y se establecen sus funciones, orientadas a la atención de alumnos y profesores, el cuidado de los procesos de calidad, la atención de recomendaciones para su mejora, entre otras. En el referido Reglamento Académico se reconoce que los programas educativos de licenciatura cuentan con un examen de egreso, que es un mecanismo para la evaluación permanente de los mismos con la finalidad de mejorar su calidad a través de la información que se genere con su aplicación.

5.- Atención a las recomendaciones de organismos evaluadores y/o acreditadores (CIEES, COPAES, PNPC, otros)

Los estudiantes pueden participar en programas de movilidad académica sin problemas para revalidar las UDAs del proyecto que te fue aprobado, de conformidad con lo estipulado en el reglamento académico. Para mejorar los indicadores de eficiencia terminal y titulación, se ha adecuado la normatividad institucional para que los estudiantes, al egresar obtengan su título profesional sin necesidad de realizar alguna modalidad de titulación, ya que su desempeño académico avala que pueden obtener el grado. Se ha iniciado con la puesta en operación de un nuevo programa institucional de tutoría que brinda acompañamiento académico y humano durante la trayectoria estudiantil, propicia su desarrollo integral y brinda acompañamiento en la planificación de los proyectos educativos de los estudiantes. A partir de la implementación de la nueva reglamentación universitaria es posible que los estudiantes revaliden cursos de educación continua para generar créditos para su programa educativo, conforme a criterios institucionales uniformes. Se cuenta con un sistema electrónico que permite a los estudiantes registrar proyectos de servicio social y emitir las constancias respectivas sin burocracia; así como proponer proyectos que atiendan necesidades sociales que detecten los propios estudiantes. Con la incorporación de la evaluación progresiva se beneficia a los estudiantes, evitando que todo el esfuerzo y dedicación que puso en un curso (Unidad de Aprendizaje) se califique solamente en la evaluación final. Institucionalmente se han ampliado y diversificado las opciones y montos destinados a becas, apoyos y estímulos para apoyar la trayectoria de los estudiantes en la institución.

6.- Contribución a la mejora de los indicadores planteados en el Anexo XIII del PFCE

Capacidad Académica • El 72.94% de PTC poseen el grado de doctor; cifra que se ubica 20 puntos arriba de la media nacional (52.75%) y sitúa a nuestra institución en el tercer lugar del conjunto de Universidades Públicas Estatales (UPES). • El 44.74% de los PTC son reconocidos como Investigadores Nacionales a través del SNI; porcentaje por encima de la media nacional (25.04%) con el cual la Universidad de Guanajuato obtiene el tercer lugar entre las UPES. • El 95.58% de profesores de tiempo completo (PTC) cuenta con posgrado; porcentaje superior a la media nacional (93.6%). • El 64.19% de los PTC cuentan con perfil reconocido por el PRODEP; valor superior a la media nacional (57.8%). • El 44.74% de los Cuerpos Académicos están Consolidados; el 35.96% se encuentran en consolidación y el 19.3% están en formación. Competitividad Académica • El porcentaje de programas educativos con reconocimiento externo a su calidad es del 73.49% • Del conjunto de programas educativos evaluables el 62.65% han optado por un proceso de acreditación y han recibido tal reconocimiento a través de alguno de los organismos reconocidos por el COPAES. • La matrícula de estudiantes inscrita en programas educativos reconocidos por su calidad representa el 79.53%.

7.- Número de estudiantes y profesores beneficiados

Profesores Beneficiados	Movilidad Académica

	Nacional	Internacional	Total
Profesores de Tiempo Completo		165	165
Profesores de Medio Tiempo			
Profesores de Asignatura			
Total	0	165	165

	Alumnos Beneficiados				Total
	Movilidad Académica				
	Complemento de la formación		Reconocimiento de créditos		
	Nacional	Internacional	Nacional	Internacional	
TSU/PA					
Licenciatura		263	3	157	423
Posgrado		64			64
Total	0	327	3	157	487

8.- Impacto en la modernización de la infraestructura (servicios de apoyo académico)

Implementación de entornos tecnológicos. Con los denominados Centros para la Integración de la Multimodalidad Educativa (CIME), se dispone de espacios físicos para acceder a los PE remotamente con apoyo de ambientes digitales y sistemas de videoconferencia, dirigido a las personas que por diferentes motivos no pueden cursarlos de manera presencial. A esta fecha, han entrado en operación dos: uno en la comunidad del Copal, del municipio de Irapuato y el otro en Tierra Blanca. Parte del equipamiento de estos dos CIME fue con apoyo del Programa de Fortalecimiento de la Calidad Educativa (PFCE) 2018 y 2019. La Universidad cuenta con una red de área amplia compuesta de 28 enlaces de microondas propios, que constituye la red principal de interconexión entre las sedes ubicadas en los municipios de León, Silao, Guanajuato, Irapuato, Salamanca, Pénjamo, Moroleón, Yuriria, Salvatierra, Celaya y Tierra Blanca. Estos enlaces se han migrado paulatinamente para aumentar su capacidad hasta 1 Gbps (agregados simétricos y asimétricos) en los puntos que demarcan la dorsal institucional de microondas. En los últimos tres años se ha trabajado con cuatro nodos de acceso a Internet, uno en cada campus. Estos accesos a internet son de 2 Gbps + 500 Mbps como redundancia de supervivencia para mantener la operación de la red en caso de que el enlace principal de 2 Gbps, con ello se ha logrado prácticamente eliminar la saturación del ancho de banda, lo que permite una navegación hacia internet bastante fluida. Para proporcionar acceso a servicio de internet y a los servidores de aplicaciones institucionales a los alumnos, profesores y personal administrativo se dispone de servicios cableados (centros de cómputo, cubículos y oficinas) y un despliegue de 650 puntos de acceso inalámbrico (Access points) en toda la institución, lo que permite una amplia cobertura en las zonas de uso común para alumnos, como los son bibliotecas, laboratorios, aulas, cubículos y pasillos. Con recursos directamente provenientes del PFCE2018-2019 ha sido posible dotar a 18 bibliotecas de nivel superior, con infraestructura de cómputo necesaria para apoyar los procesos de aprendizaje y las competencias digitales de los estudiantes. Asimismo, se cuenta con equipos de cómputo portátiles que se ponen a disposición de los estudiantes para realizar consultas de información disponible en la biblioteca digital.

9.- Impacto en la capacitación de los profesores y de los cuerpos académicos

Institucionalmente se atiende la formación de los profesores de la Universidad mediante el Programa Institucional de Formación Docente, a partir de cuatro líneas de acción organizadas de acuerdo con las disciplinas y metodologías que favorezcan los procesos de enseñanza aprendizaje, entre las cuales se encuentran; Aprendizaje Basado en Proyectos-Casos-Retos, Aprendizaje Cooperativo, Planeación Didáctica, Evaluación Educativa, Herramientas y Recursos Tecnológicos, Manejo del estrés, Ser y Quehacer docente, Investigación educativa, Guía Docente, por mencionar algunos. La línea de acción de Formación Docente se desarrolla a través de cursos, talleres, módulos y laboratorios, en modalidades presencial, semipresencial y a distancia. La participación en el periodo 2018-2019 fue de 2232 profesores. La línea de acción de Buenas Prácticas Docentes contiene dos estrategias para fortalecer el análisis-reflexión-transformación de la práctica docente. La primera es el desarrollo de la Guía para la Sistematización de la Buena Práctica Docente, como proceso de investigación sobre la propia práctica del profesor, que posteriormente se promueve en un espacio institucional denominado Foro de Buenas Prácticas Docentes. En 2019 se contó con la participación de 148 profesores. La línea de acción de Comunidades de Aprendizaje se lleva a cabo a través de encuentros docentes UG, que buscan fortalecer la identidad institucional de PTC de reciente incorporación a la Universidad. Otra acción relacionada ha iniciado en el segundo semestre de 2019, denominada "Comunidades de Práctica Docente" en el que se enfatiza la construcción de estrategias docentes con enfoque disciplinas para fortalecer los aprendizajes. Hasta la fecha han participado 181 profesores. Si bien en el periodo 2018-2019, con referencia a periodos anteriores, se ha incrementado cada vez más el número de beneficiarios del PIFD, teniendo como total 1,235 profesores hay que considerar que la planta docente cuenta con un total de 3,452 profesores en la Universidad bajo los diversos tipos de nombramiento. En este escenario, se dará continuidad a la formación docente mediante estrategias digitales, flexibles y en concordancia con las tendencias de los programas educativos.

10.- Impacto en la formación y atención integral del estudiante

De los 137 (83.7%) programas educativos que se encuentran adecuados al MEUG el plan de estudios se caracteriza por ser flexible, ya que su organización es por áreas de énfasis en las que se establecen espacios y actividades en atención a la formación integral

del estudiante, las ciencias básicas y disciplinares de la profesión, adicional en el trayecto formativo se favorece que el estudiante pueda elegir los contenidos apropiados para profundizar en las áreas de interés profesional así como la inserción laboral, esta última considerada en el prácticum para el caso de los programas de TSU y Licenciatura. Se encuentran bajo el sistema de créditos y con un enfoque en competencias. Adicionalmente la formación integral de los estudiantes se promueve de la siguiente manera: 1. El Programa Institucional de Tutoría ha aumentado su cobertura pasando, en 2016, de atender 19,632 estudiantes a beneficiar a 26,627 estudiantes en 2019. Un equipo de 918 tutores atiende, en promedio a 29 estudiantes. Se busca realizar acompañamiento académico y humano con atención diversificada al estudiante de acuerdo con sus condiciones de vulnerabilidad para el egreso y los talentos particulares. 2. Se cuenta con un conjunto de programas que protegen la vulnerabilidad hacia el egreso oportuno de los estudiantes. En ámbitos económicos, las Becas institucionales incorporan puntualmente a población vulnerable (equidad regional, madres y padres solteros). En el ciclo agosto-diciembre 2018 y enero-julio 2019, se otorgaron 4,755 becas, lo que representa una inversión de \$23 millones 526 mil 130 pesos, un incremento del 6.7% con relación al monto registrado el ciclo anterior (\$22 millones 46 mil 555 pesos) y un incremento porcentual de más del 70% con respecto al ciclo 2014-2015. 3. En aspectos psicosociales, se atiende a los estudiantes mediante el Programa de salud, que tiene cobertura en todos los Campus, respecto a temas pedagógicos y vocacionales. En lo general, en este tema, se considera que la institución ha puesto un énfasis importante. El mismo Programa de Salud ofrece conferencias, talleres y atención personalizada para prevenir y canalizar a los estudiantes atendiendo a la Guía de Atención a las Urgencias de Salud respecto a adicciones. Para las actividades físicas se cuentan con entrenadores en el 100% de los Campus y se llevan a cabo sistemáticamente diversos eventos para el fomento de la cultura física y la activación deportiva. La actividad deportiva está centrada en actividades de esparcimiento y de alto rendimiento 4. La institución cuenta con una oferta de programas y actividades orientadas a fomentar el aprecio por las diversas expresiones de la cultura y el arte, la reflexión y el pensamiento crítico. se llevan a cabo distintas actividades tales como: charlas, conversatorios conferencias, visitas guiadas, presentaciones de libros, cursos y talleres, Unidad de Extensión NAUTILUS, además coadyuvando al compromiso de innovación y uso de las nuevas tecnologías se han desarrollado contenidos académicos en formato digital, como la Unidad de Aprendizaje en línea denominada "Historia del arte" y los cursos en línea auto-gestivos "Historia y feminismo", "Conceptos básicos de fotografía" que están disponibles a partir de septiembre 2018. Además se encuentran en desarrollo dos cursos auto-gestivos en línea de "Introducción a la ópera" y "Museografía" para que estén disponibles en el mes de noviembre 2019. 5. Mediante el Sistema Universitario de Multimodalidad, se ofrecen cursos de homologación a los aspirantes aceptados. Adicionalmente, se atiende mediante asesorías y las tutorías pares. Este último es un punto que requiere reforzarse, ya que en el primer año aparece la mayor prevalencia de reprobación. En el año 2019 se implementó un plan de inducción con una fase en línea (Universidad, hábitos de estudio y servicios universitarios) y otra presencial (conocimiento de instalaciones, normatividad, integración grupal, evaluación física y fomento en estilos de vida saludable y cultura de la paz) para todos los estudiantes de nuevo ingreso. Este es un ámbito que se fortalece actualmente.

11.- Producción científica

Libros

- 1.- Los escenarios electoral e Ideológico en el Sistema de Partidos Mexicano
- 2.- Luces del siglo XIX en las teorías de la Restauración. Textos de Victor Hugo y Eugene Viollet-le-Duc sobre la restauración y los monumentos
- 3.- Análisis político y administrativo: perspectivas contemporáneas

Capítulos de Libros

- 1.- Approach in the integrated structure-control optimization of a 3RRR parallel robot
- 2.- Characterization of new cyclic d alternate amino acid peptides by capillary electrophoresis coupled to electrospray ionization mass spectrometry
- 3.- Design and Optimization of Azeotropic and Extractive Distillation to Purify Furfural Considering Safety, Environmental and Economic Issues.
- 4.- Optimization of a shell-and-tube heat exchanger using the grey wolf algorithm
- 5.- On the History of the Discovery of the Subgroups of the Euclidean Group
- 6.- Heat-Integrated Reactive distillation processes to produce Ethyl Levulinate: Design and Optimization including Environmental, Safety and Economics Aspects
- 7.- Control analysis of batch reactive distillation column with intermittent fed
- 8.- Simultaneous design and controllability optimization for the reaction zone for furfural bioproduction
- 9.- Rate-based modelling and simulation of pilot scale distillation column
- 10.- Development of a biorefinery scheme to produce biofuels from waste cooking oil

- 11.- Exergy analysis for energy integration in a bioethanol production process to determine heat exchanger networks feasibility
- 12.- Techno-economic analysis of alternative reactive purification technologies in the lactic acid production process.

Articulos

- 1.- Expanded granular sludge bed bioreactor in wastewater treatment
- 2.- A Fast Image Dehazing Algorithm Using Morphological Reconstruction
- 3.- Influence of natural templates in the synthesis of nickel aluminate and the evaluation in methanol detection
- 4.- An integral profile of bioactive compounds and functional properties of prickly pear (*Opuntia ficus indica* L.) peel with different tonalities
- 5.- Synthesis, characterization, and mechanical performance of various functionalized carbon nanotubes-polyurethanes nanocomposites
- 6.- Impact of Cr(VI) on the oxidation of polyunsaturated fatty acids in *Helianthus annuus* roots studied by metabolomic tools
- 7.- Born-Infeld Gravity from the MacDowell-Mansouri Action and Its Associated -Term
- 8.- Controlling the white phosphorescence $ZnGa_2O_4$ phosphors by surface defects
- 9.- The bacterial diversity on steam vents from Parícutin and Sapichu volcanoes
- 10.- Fluoroquinolones in agricultural soils: Multi-temporal variation and risks in Rio de Janeiro upland region
- 11.- Expression of ChiA74 Delta sp and its truncated versions in *Bacillus thuringiensis* HD1 using a vegetative promoter maintains the integrity and toxicity of native Cry1A toxins
- 12.- The crystal structure of the chitinase ChiA74 of *Bacillus thuringiensis* has a multidomain assembly
- 13.- J-PLUS: On the identification of new cluster members in the double galaxy cluster A2589 and A2593 using PDFs
- 14.- The intergalactic magnetic field probed by a giant radio galaxy
- 15.- Efficient photocatalytic activity of $M\text{SnO}_3$ (M: Ca, Ba, Sr) stannates for photoreduction of 4-nitrophenol and hydrogen production under UV light irradiation
- 16.- Neutrino predictions from a left-right symmetric flavored extension of the standard model
- 17.- Strong Gravitational Lensing by Wave Dark Matter Halos
- 18.- YwqL (EndoV), ExoA and PolA act in a novel alternative excision pathway to repair deaminated DNA bases in *Bacillus subtilis*
- 19.- Effect of varying the crosslinking degree of a pericardial implant with oligourethane on the repair of a rat full-thickness abdominal wall defect
- 20.- Duodenal adipose tissue is associated with obesity in baboons (*Papio* sp): a novel site of ectopic fat deposition in non-human primates
- 21.- Development of an oxidative stress sensor in live bacteria using the optimized HyPer2 protein
- 22.- The Wide Spectrum of Functional Movement Disorders
- 23.- Priority areas to collect germplasm of *Annona* (Annonaceae) in Mexico based on diversity and species richness indices
- 24.- Qualitative evaluation of ferritin in serum samples by Raman spectroscopy and principal component analysis
- 25.- Generalised multivariable supertwisting algorithm
- 26.- An efficient and simple imidazole-hydrazone ligand for palladium-catalyzed Suzuki-Miyaura cross-coupling reactions in water under infrared irradiation
- 27.- A direct method for the computation of the oscillatory voltage stability boundary
- 28.- Photocatalytic hydrogen production by biomimetic indium sulfide using *Mimosa pudica* leaves as template
- 29.- Mfd protects against oxidative stress in *Bacillus subtilis* independently of its canonical function in DNA repair
- 30.- Discovery of short-term activity cycles in F-type stars

- 31.- A systematic study of macrodiols and poly(ester-urethanes) derived from omega,-hydroxy telechelic poly(epsilon-caprolactone) (HOPCLOH) with different ether [CH₂CH₂O](m) groups. Synthesis and characterization
- 32.- () Measurement of quasielastic-like neutrino scattering at (E-v) similar to 3.5 GeV on a hydrocarbon target
- 33.- Reactive Distillation Column Design for Tetraethoxysilane (TEOS) Production. Part II: Dynamic Properties and Inherent Safety
- 34.- On the Use of Binary Features in a Rule-Based Approach for Defect on Patterned Textiles
- 35.- Noncommutativity in Effective Loop Quantum Cosmology
- 36.- Design, Construction, and Operation of a High-Energy Mill for Handling Magnesium Powder
- 37.- Defining a Practicum in Applied Linguistics through Duoethnography in Order to Comply with the National Postgraduate Audit Culture in Mexico
- 38.- Dynamic Analysis of Hypar Membrane Structures Subjected to Seismic Excitations
- 39.- Trichoderma Species: Versatile Plant Symbionts
- 40.- Synthesis, design and optimization of alternatives to purify 2, 3-Butanediol considering economic, environmental and safety issues
- 41.- ANTIMICROBIAL ACTIVITY OF MORINGA OLEIFERA AGAINST MULTIDRUG-RESISTANT STAPHYLOCOCCUS AUREUS ISOLATED FROM RAW MILK
- 42.- Comment on "Schwinger's model of angular momentum with GUP" by Verma Harshit et al
- 43.- Two-Field Axion Inflation and the Swamp Land Constraint in the Flux-Scaling Scenario
- 44.- Simulations of single-phase flow in an up-flow electrochemical reactor with parallel plate electrodes in a serpentine array
- 45.- Phytochemical profiles and classification of Agave syrups using H-1-NMR and chemometrics
- 46.- Depression and its Influence on Neuropsychological Changes in the Elderly with Mild Neurocognitive Disorder due to Alzheimer's Disease
- 47.- Study of Solar Radio Spikes and Their Relation to Energetic Solar Events
- 48.- On the effect of gas channels-electrode interface area on SOFCs performance
- 49.- Philosophical Hermeneutics and the "Correct" Legal Interpretation
- 50.- Transitional Justice As A Mechanism Of Reconciliation In The Colombian State
- 51.- The Good Faith In Contractual Matters In The University Of Guanajuato Internal And External Limits
- 52.- Incongruent To The Mexican Constitution The Payment Division Tax For State Property Of Public Domain
- 53.- THE CRIMINOLOGICAL IMAGINATION
- 54.- New roles of NO TRANSMITTING TRACT and SEEDSTICK during medial domain development in Arabidopsis fruits
- 55.- Pollutant Removal from Wastewater at Different Stages of the Tanning Process by Electrocoagulation
- 56.- Congo Red affects the growth, morphology and activity of glucosamine-6-phosphate synthase in the human pathogenic fungus Sporothrix schenckii
- 57.- Fully coupled hydromechanical model for compacted soils
- 58.- Computational study of metal complexes formed with EDTA, melatonin, and its main metabolites: implications in lead intoxication and clues to a plausible alternative treatment
- 59.- The endemic orchids of Mexico: a review
- 60.- Radio Galaxy Zoo: Claran - a deep learning classifier for radio morphologies
- 61.- Validation of the Instrument of Organizational Commitment in Mexico: Evidence of construct validity, criterion validity and reliability
- 62.- Silencing of OCH1 unveils the role of Sporothrix schenckii N-linked glycans during the host-fungus interaction
- 63.- Analysis of the Drude model in view of the conformable derivative
- 64.- Pharmacological Control of Complications Following to Third Molar Removal: Evidence Based on A Meta-Analysis
- 65.- Z-scan applied to phosphate glasses doped with Er³⁺-Yb³⁺ and silver nanoparticles

- 66.- Numerical analysis of wood-high-density polyethylene composites: A hyperelastic approach
- 67.- Variable stars in Palomar 13; an evaporating globular cluster
- 68.- Motor fault detection using Quaternion Signal Analysis on FPGA
- 69.- Experimental and Numerical Study on Production Rate in Sewer Mainline Video Inspection
- 70.- Modeling of sodium nitrite and water transport in pork meat
- 71.- Self-treatment with herbal products for weight-loss among overweight and obese subjects from central Mexico
- 72.- Ni(II), Pd(II) and Pt(II) complexes with SacNac tridentate ligand
- 73.- Exergoeconomic performance comparison of R1234yf as a drop-in replacement for R134a in a domestic refrigerator [Comparaison des performances exergo-économiques du R1234yf comme substitut immédiat au R134A dans un réfrigérateur domestique]
- 74.- The radial and background distribution functions of Quantum Hard Spheres
- 75.- Effect of organic anions on ionic liquids as corrosion inhibitors of steel in sulfuric acid solution
- 76.- Hydrogen peroxide protects pepper (*Capsicum annuum* L.) against pepper golden mosaic geminivirus (PepGMV) infections
- 77.- Iridium(I) homobinuclear complexes containing salen-type ligands as bridge
- 78.- Iodine(III)-Catalyzed Electrophilic Nitration of Phenols via Non-Brønsted Acidic NO₂ + Generation
- 79.- Synthetic Approach to Readily Accessible Benzofuran-Fused Borondipyrromethenes as Red-Emitting Laser Dyes
- 80.- Comminution effect on surface roughness and flotation behavior of malachite particles
- 81.- ANN-based correlation for frictional pressure drop of non-azeotropic mixtures during cryogenic forced boiling
- 82.- A heuristic home electric energy management system considering renewable energy availability
- 83.- DNA damage in earthworms by exposure of Persistent Organic Pollutants in low basin of Coatzacoalcos River, Mexico
- 84.- Incorporating the concept of flexible operation in the design of solar collector fields for industrial applications
- 85.- High Virulence of Mexican Entomopathogenic Fungi Against Fall Armyworm, (Lepidoptera: Noctuidae)
- 86.- Effects of producer and transmission reliability on the sustainability assessment of power system networks
- 87.- Ultrafiltration membranes modified by PSS deposition and plasma treatment for Cr(VI) removal
- 88.- Adsorption of aqueous As (III) in presence of coexisting ions by a green Fe-modified W zeolite
- 89.- Synthesis of bimetallic nanoparticles of Cd₄HgS₅ by *Candida* species
- 90.- Fractional model of the dielectric dispersion
- 91.- A study of the flow patterns between two corrugated plates with an egg-carton configuration
- 92.- Intermediate temperature solid oxide fuel cell under internal reforming: Critical operating conditions, associated problems and their impact on the performance
- 93.- A synthesis method for 1-DOF mechanisms with a cusp in the configuration space
- 94.- Multi-objective optimization of intensified processes for the purification of levulinic acid involving economic and environmental objectives
- 95.- Radio Galaxy Zoo: Observational evidence for environment as the cause of radio source asymmetry
- 96.- Threats, challenges and opportunities for paediatric environmental health in Europe, Latin America and the Caribbean [Amenazas, desafíos y oportunidades para la salud medioambiental pediátrica en Europa, América Latina y el Caribe]
- 97.- Thermal and energy evaluation of a domestic refrigerator under the influence of the thermal load
- 98.- Simultaneous removal of fluoride and arsenic from groundwater by electrocoagulation using a filter-press flow reactor with a three-cell stack
- 99.- The fill density of automotive cryo-compressed hydrogen vessels
- 100.- Lung ventilation monitoring by electrical bioimpedance technique using three different 4-electrode thoracic configurations: Variability of calibration equations

- 101.- Total synthesis of the linear and angular 3-methylated regioisomers of the marine natural product Kealiquinone and biological evaluation of related Leucetta sp. alkaloids on human breast cancer
- 102.- Pt supported on mesoporous material for methanol and ethanol oxidation in alkaline medium
- 103.- Some comments on the paper "Lindenstrauss-Phelps spaces and the optimality of a theorem of Fonf"
- 104.- Selected topics in scalar-tensor theories and beyond
- 105.- Sources and distribution of arsenic in agricultural soils of Central Mexico
- 106.- Identification of proteins in *Sporothrix schenckii* sensu stricto in response to oxidative stress induced by hydrogen peroxide [Identificación de proteínas en *Sporothrix schenckii* sensu stricto en respuesta al estrés oxidativo inducido por peróxido de hidrógeno]
- 107.- Level of exposure to fluorides by the consumption of different types of milk in residents from an area of Mexico with endemic hydrofluorosis [Dosis de exposición a fluoruros por el consumo de diferentes tipos de leche en residentes de una zona con hidrofluorosis endémica en México]
- 108.- Bioreduction of precious and heavy metals by *Candida* species under oxidative stress conditions Bioreduction of precious and heavy metals by *Candida* species under oxidative stress conditions
- 109.- Upscaling of W zeolite direct synthesis from coal fly ash and its water adsorption capacity
- 110.- Relationship of lactation, BMI, and rs12255372 TCF7L2 polymorphism on the conversion to type 2 diabetes mellitus in women with previous gestational diabetes
- 111.- A fast micromethod for the estimation of nisin activity in a soft cheese
- 112.- Comparison of the Energy Potential of Copper and Superconducting Linear Electric Generators
- 113.- Air Dispersion and Bubble Characteristics in a Downflow Flotation Column
- 114.- NA62 RICH performance: measurement and optimization
- 115.- Paraneoplastic opsoclonus-myoclonus syndrome secondary to melanoma metastasis form occult primary cancer
- 116.- New model for heat transfer calculation during film condensation inside pipes
- 117.- Remediating polluted soils using nanotechnologies: Environmental benefits and risks
- 118.- Measurement of quasielastic-like neutrino scattering at 3.5 GeV on a hydrocarbon target
- 119.- Rapidly evolving episodic outflow in IRAS 18113-2503: Clues to the ejection mechanism of the fastest water fountain
- 120.- Immunomodulatory molecules regulate adhesin gene expression in *Staphylococcus aureus*: Effect on bacterial internalization into bovine mammary epithelial cells
- 121.- Relativistic generalized uncertainty principle
- 122.- Mussel-inspired Fe₃O₄@Polydopamine(PDA)-MoS₂ core-shell nanosphere as a promising adsorbent for removal of Pb²⁺ from water
- 123.- Nonordered porous silica-based pure inorganic and hybrid organic-inorganic materials prepared by a nonaqueous, nonthermal sol-gel process
- 124.- Effects of the binding of a *Helianthus annuus* lectin to *Candida albicans* cell wall on biofilm development and adhesion to host cells
- 125.- Proposal for highly efficient electrochemical discoloration and degradation of azo dyes with parallel arrangement electrodes
- 126.- Structural interaction between bone and implants due to arthroplasty of the first metatarsophalangeal joint
- 127.- Optimal and Unbiased Filtering With Colored Process Noise Using State Differencing
- 128.- Suspended LRSPP for the development of highly integrated active plasmonic devices
- 129.- Comparison between Fenton and Fenton-like reactions for L-proline degradation
- 130.- Does juvenile hormone prompt oxidative stress in male damselflies?
- 131.- Safety, Economic, and Environmental Optimization Applied to Three Processes for the Production of Solar-Grade Silicon
- 132.- Synthesis and characterization of TiO₂-ZnO-MgO mixed oxide and their antibacterial activity
- 133.- Lorentz invariant mass and length scales

- 134.- Real-Time Temperature Sensor Based on In-Fiber Fabry-Perot Interferometer Embedded in a Resin
- 135.- Characteristics of LPFGs Written by a CO₂-Laser Glass Processing System
- 136.- Hot air drying kinetics of thin layers of prickly pear fruit paste
- 137.- Probability of the occurrence of two significant earthquakes on the same date (of different years) striking the same site: The Mexico City Case
- 138.- Alternatives for the Purification of the Blend Butanol/Ethanol from an Acetone/Butanol/Ethanol Fermentation Effluent
- 139.- Binding of Pb-Melatonin and Pb-(Melatonin-metabolites) complexes with DMT1 and ZIP8: implications for lead detoxification
- 140.- Silanization of di-n-octyldichlorosilane as a route to improve the integration of titanium dioxide in polypropylene
- 141.- Critical temperature determination on a square-well fluid using an adaptation of the microcanonical-ensemble computer simulation method
- 142.- New urban inequalities: The global appropriation of heritage in Mexican historical centers [Nuevas desigualdades urbanas: La apropiación global del patrimonio en los centros históricos Mexicanos]
- 143.- Seed germination and population structure of two endangered tree species: *Magnolia perezfarrerae* and *Magnolia sharpii*
- 144.- How is technology managed in SMEs? Differences and similarities between micro, small and medium enterprises
- 145.- A genetic programming framework in the automatic design of combination models for salient object detection
- 146.- Influence of the surface modification of titanium dioxide nanoparticles TiO₂ under efficiency of silver nanodots deposition and its effect under the properties of starch-chitosan (SC) films
- 147.- Potential distribution of *Musca domestica* in Jesús María Municipality, Aguascalientes, Mexico, based on climate change scenarios
- 148.- Synthesis and characterization of a pair of O-: Fac /O- mer 12-P-6 alkyloxaphosphates with a P-O-C-C four-membered ring
- 149.- Morphology and reproductive patterns of an assemblage of anurans from the Chihuahuan Desert Region, Mexico
- 150.- Homogeneous hydrogels made with acrylic acid, acrylamide and chemically functionalized carbon nanotubes
- 151.- Single strain versus multispecies probiotic on necrotizing enterocolitis and faecal IgA levels in very low birth weight preterm neonates: A randomized clinical trial
- 152.- Mechanosynthesis of photochromic oligophenyleneimines: Optical, electrochemical and theoretical studies
- 153.- ECG Signal Denoising and Features Extraction Using Unbiased FIR Smoothing
- 154.- Co-sensitized TiO₂ electrodes with different quantum dots for enhanced hydrogen evolution in photoelectrochemical cells
- 155.- Populations and food stores of honey bee (*Apis mellifera*) colonies from three regions of Mexico's semiarid high plateau
- 156.- Radio Galaxy Zoo: The Distortion of Radio Galaxies by Galaxy Clusters
- 157.- Binary colloidal glasses: Linear viscoelasticity and its link to the microscopic structure and dynamics
- 158.- Switchable, tunable and highly stable multi-wavelength fiber laser based on a spectral filter
- 159.- 3,3'-thiodipropanol as a versatile refractive index-matching mounting medium for fluorescence microscopy
- 160.- GMRT observations of the protostellar jet associated with IRAS 16547-4247
- 161.- The Creation Process in Digital Art
- 162.- Indicators of Academic Performance as Predictors of Financial-Resource Raising
- 163.- Methodology to solve Mass-Spring-Dashpot (MSD) models through global optimization algorithms
- 164.- Fluctuations and phase transitions of uniaxial and biaxial liquid crystals using a theoretically informed Monte Carlo and a Landau free energy density
- 165.- A case of concomitant pulmonary tuberculosis and mucormycosis in an insulin-dependent diabetic patient
- 166.- Analysis of some immunogenic properties of the recombinant *Sporothrix schenckii* Gp70 expressed in *Escherichia coli*

- 167.- Asociación entre la inseguridad alimentaria y factores de riesgo prenatales con problemas de audición en prematuros [Association between food insecurity and perinatal risk factors with hearing problems in preterm birth]
- 168.- Biodiesel production using layered double hidroxides and derived mixed oxides: The role of the synthesis conditions and the catalysts properties on biodiesel conversion
- 169.- Biominerization and biosynthesis of nanocrystalline materials and selective uptake of toxic metals controlled by five types of Candida species
- 170.- BODIPY as electron withdrawing group for the activation of double bonds in asymmetric cycloaddition reactions
- 171.- Chitosan/copper nanocomposites: Correlation between electrical and antibacterial properties
- 172.- Engraftment of Human Stem Cell-Derived Otic Progenitors in the Damaged Cochlea
- 173.- Full structural characterization of homoleptic complexes of diacetylcurcumin with Mg, Zn, Cu, and Mn: Cisplatin-level Cytotoxicity in Vitro with Minimal Acute Toxicity in Vivo
- 174.- Glassy dynamics in asymmetric binary mixtures of hard spheres
- 175.- Hamilton's approach in cosmological inflation with an exponential potential and its observational constraints
- 176.- High U(1) charges in type IIB models and their F-theory lift
- 177.- Indoor INS/LiDAR-Based Robot Localization with Improved Robustness Using Cascaded FIR Filter
- 178.- Iodine(III)-Mediated, Controlled Di- or Monoiodination of Phenols
- 179.- Laser-induced sound pinging (LISP): A rapid photoacoustic method to determine the speed of sound in microliter fluid volumes
- 180.- Mismatched Series-Parallel Photovoltaic Generator Modeling: An Implicit Current-Voltage Approach
- 181.- Phytoremediation of landfill leachate using vetiver (*Chrysopogon zizanioides*) and cattail (*Typha latifolia*)
- 182.- Predation capability of *Hippodamia convergens* (Coleoptera: Coccinellidae) and *Chrysoperla carnea* (Neuroptera: Chrysopidae) feeding of *Melanaphis sacchari* (Hemiptera: Aphididae)
- 183.- Role of Arf-like proteins (Arl1 and Arl2) of *Mucor circinelloides* in virulence and antifungal susceptibility
- 184.- Effects of Nicorandil and Chronic Physical Exercise on Glycemia in Diabetic Rats Induced by Streptozotocin
- 185.- Gastric responses to acute psychological stress in climacteric women: a pilot study
- 186.- MON-092 Role of Genetic Variants of NNMT rs694539 and rs1941404, FTO rs1421085 and Irx3rs3751723 Polymorphisms on Resting Energy Expenditure and BMI
- 187.- Energy Expenditure in Obesity: Relationship with NNMT, Polyamine Cycle, and Response to Caloric Restriction
- 188.- A Short-term Diet High in Carboxymethyl-lysine (CML) Increases Urinary Excretion but Not Serum CML Levels (P12-012-19)
- 189.- Development and validation of a predictive model for incident type 2 diabetes in middle-aged Mexican adults: the metabolic syndrome cohort
- 190.- Neck Circumference and Its Association with Cardiometabolic Risk Factors in Pediatric Population
- 191.- Exome sequencing of 20,791 cases of type 2 diabetes and 24,440 controls
- 192.- Circulating microRNAs Are Associated with Latino Ancestry but Not Prediabetes
- 193.- Exercise and Sirtuins: A Way to Mitochondrial Health in Skeletal Muscle
- 194.- Agave fructans and oligofructose decrease oxidative stress in brain regions involved in learning and memory of overweight mice
- 195.- Strawberry Intake Ameliorates Oxidative Stress and Decreases GABA Levels Induced by High-Fat Diet in Frontal Cortex of Rats
- 196.- PTPN22 1858C>T polymorphism is associated with increased CD154 expression and higher CD4+ T cells percentage in rheumatoid arthritis patients
- 197.- Sleep Training Outcomes of Mexican Diabetes Educators and Nursing Students
- 198.- Hypoglycemia and hyperglycemia are risk factors for falls in the hospital population
- 199.- Laparoscopic procedures experience in Mexico during 2015: ¿Where are we?

- 200.- Tinción de Kinyoun para el diagnóstico de *Cryptosporidium* spp
- 201.- Association between food insecurity and perinatal risk factors with hearing problems in preterm birth
- 202.- Suicide attempt and leisure in Mexican adolescents
- 203.- La ciudad: una visión desde la psicología ambiental
- 204.- Noncommutative Friedmann Equations in Effective LQC
- 205.- Classical and quantum exact solutions for the anisotropic Bianchi type I in multi-scalar field cosmology with an exponential potential driven inflation
- 206.- Teoría atómica y realismo científico
- 207.- Cosmological Synergies Enabled by Joint Analysis of Multi-probe data from WFIRST, Euclid, and LSST
- 208.- Inflation and Dark Energy from spectroscopy at $z > 2$
- 209.- Scalar field dark matter with a cosh potential, revisited
- 210.- Black holes, gravitational waves and fundamental physics: a roadmap
- 211.- Leaving the Swampland: Non-geometric fluxes and the Distance Conjecture
- 212.- Some remarks on the dS conjecture, fluxes and K-theory in IIB toroidal compactifications
- 213.- Generalised asymptotic equivalence for extensive and non-extensive entropies
- 214.- Arrested dynamics of the dipolar hard-sphere model
- 215.- Reversible cluster formation and dynamical arrest in colloidal dispersions
- 216.- Polymer Resonators for Thermodynamics Fatty Acids Changing State Detection
- 217.- Generation of Raman images through spectral mappings
- 218.- Evaluation of micronuclei in oral mucosa of individuals exposed to ionizing radiation: a pilot study from Celaya, México
- 219.- Classification of opinions in cross domains involving emotive values
- 220.- Theoretical equations of state for a charged fluid
- 221.- Comparison of Time-Domain and Frequency-Domain Contact Resonant Ultrasound Spectroscopy
- 222.- Molecular dynamics study of nanoconfined TIP4P/2005 water: how confinement and temperature affect diffusion and viscosity
- 223.- Synthesis and characterization of simple and binary drug delivery systems for sustainable release of ciprofloxacin
- 224.- Supersymmetric Quantum Mechanics: two factorization schemes, and quasi-exactly solvable potentials
- 225.- Modelado con COMSOL Multiphysics: Distribución de temperatura de nano partículas de Fe₃O₄ para terapia oncológica
- 226.- Música y fiesta en Guanajuato. Notas sobre la vida cotidiana en algunas ciudades del Bajío porfiriano
- 227.- Procesos creativos en el arte para la resignificación de la identidad: una aproximación psicoanalítica
- 228.- Transferencia de ecotecnologías y su adopción social en localidades vulnerables: una metodología para valorar su viabilidad
- 229.- La ciudad bajo el lente de la antropología
- 230.- Penitentiary Treatment in Mexico: A Comparison between Men's and Women's Situation
- 231.- Normatividad, gestión pública del agua y ambientalismo de mercado en México: un análisis desde los proyectos políticos (2012-2018) / Regulation, public water management and market environmentalism in Mexico: an analysis from political projects
- 232.- Transformaciones de las memorias en niños que han experimentado un trauma por exposición al fuego
- 233.- Diversidad Genética de nochebuena de sol (*Euphorbia* spp.) en Morelos, México, con marcadores moleculares RAPD
- 234.- Recubrimiento a base de quitosano y extracto acuoso de hoja de Moringa oleífera obtenido por UMAE y sus efectos en las propiedades fisicoquímicas de fresa (*Fragaria x ananassa*)

- 235.- Caracterización físico-química de frutos de ciruela mexicana (*Spondias purpurea* L.) en el Soconusco, Chiapas
- 236.- Relatos dominantes opresivos de mujeres con historias de abuso sexual infantil
- 237.- El quehacer de las instituciones gubernamentales en Guanajuato, en torno a la violencia de género hacia mujeres rurales. Análisis a través de un estudio de caso
- 238.- Uso de las redes sociales como oportunidad para el crecimiento económico de las Pymes en Celaya Gto
- 239.- Barreras y conductas promotoras de salud en personas con riesgo de desarrollar diabetes tipo 2
- 240.- Musicoterapia como atención de enfermería en procedimiento quirúrgico para disminuir estrés fisiológico y psicológico: propuesta de intervención
- 241.- Espiritualidad y calidad de vida en mujeres con cáncer de mama: una revisión integrativa
- 242.- Moment-rotation behaviour of non-bolted planar joints for segmental tunnels
- 243.- Structural Properties and Luminescence Characteristics of Eu³⁺ Doped Lithium Triborate (LiB₃O₅) Phosphors
- 244.- Detrimental Effects of Induced Antibodies on *Aedes aegypti* Reproduction
- 245.- Diuretic activity and neuropharmacological effects of an ethanol extract from *Senna septemtrionalis* (Viv.) HS Irwin & Barneby (Fabaceae)
- 246.- Conduction mechanism and switchable photovoltaic effect in (111) oriented BiFe_{0.95}Mn_{0.05}O₃ thin film
- 247.- Sulphate Ions Removal from an Abandoned Mine Water using Electrocoagulation. Characterization of the Floccs Originated through Chemical and Morphological Analysis
- 248.- Tuning the nonlinear optical properties of the [alkyl-Py](+)[NO₃](-) and [alkyl-MIM](+)[NO₃](-) ionic liquids
- 249.- Identification of potential indicators of time-dependent tequila maturation and their determination by selected ion monitoring gas chromatography-mass spectrometry, using salting-out liquid-liquid extraction
- 250.- Preparation of Peppermint Oil-Based Nanodevices Loaded with Paclitaxel: Cytotoxic and Apoptosis Studies in HeLa Cells
- 251.- 'Mondragon': A clonal plum rootstock to enhance management of *Armillaria* root disease in peach orchards of Mexico
- 252.- Simultaneous temporal and spectral analysis of noise-like pulses in a mode-locked figure-eight fiber laser
- 253.- Differences in Faraday Rotation between Adjacent Extragalactic Radio Sources as a Probe of Cosmic Magnetic Fields
- 254.- Vacuum polarization of the quantized massive scalar field in the global monopole spacetime: The renormalized quantum stress energy tensor
- 255.- Iodine(III)/AlX₃-mediated electrophilic chlorination and bromination of arenes. Dual role of AlX₃ (X = Cl, Br) for (PhIO)_(n) depolymerization and as the halogen source
- 256.- The construction of sense and values in social ecotourism businesses. A case study in en Atarjea, El Carricillo, Guanajuato
- 257.- STABILITY OF PALM OLEIN WITH OR WITHOUT ANTIOXIDANTS DURING INDUSTRIAL CONTINUOUS DEEP-FAT FRYING OF WHEAT SNACKS
- 258.- Viewing sector optimisation for indoor localisation using multi-lateration with unilateral nodes deployment
- 259.- Correcting estimates of DNA CNAs using improved confidence masks tuned to gold standard
- 260.- What is this image? 2019: Image6 results: Anomalous origin of the right coronary artery: The importance of choosing the stress modality
- 261.- Solar Radiation Model Applied to a Low Temperature Evacuated Tubes Solar Collector
- 262.- Wavelength switching and tuning of fiber lasers by using a modifiable intra-cavity filter based on a modal Michelson interferometer
- 263.- Heat-shock treatment applied to inocula for H-2 production decreases microbial diversities, interspecific interactions and performance using cellulose as substrate
- 264.- Trichoderma as a Model to Study Effector-Like Molecules
- 265.- Modeling of CoRoT and Spitzer lightcurves in NGC 2264 caused by an optically thick warp

- 266.- Photocatalytic Degradation of 2,4,6-Trichlorophenol by MgO-MgFe₂O₄ Derived from Layered Double Hydroxide Structures
- 267.- A Novel Low-Cost Synchronous/Asynchronous Microcontroller-Based Pulsed Laser
- 268.- Contrast and Homogeneity Feature Analysis for Classifying Tremor Levels in Parkinson's Disease Patients
- 269.- Extraction of apitoxin with an electric collector in Irapuato, Guanajuato, Mexico
- 270.- Assessment of the performance of High-Luminosity LHC operational scenarios: integrated luminosity and effective pile-up density
- 271.- Does chlorhexidine mouthwash reduce the rate of oral colonization by gram-negative bacteria in patients with chemotherapy? A placebo-controlled trial
- 272.- Phytochemical profile of methanolic extracts from Chilca (*Baccharis glutinosa*) roots and its activity against *Aspergillus ochraceus* and *Fusarium moniliforme*
- 273.- Non-equilibrium thermodynamics in electrochemical complexation of Li-oxygen porous electrodes
- 274.- Inherently Safer Design and Optimization of Intensified Separation Processes for Furfural Production
- 275.- Quaternion Signal Analysis Algorithm for Induction Motor Fault Detection
- 276.- Granular beads in a vibrating, quasi two-dimensional cell: The true shape of the effective pair potential
- 277.- Microalgal-nitrifying bacterial consortium for energy-saving ammonia removal from anaerobic digestate of slaughterhouse wastewater
- 278.- Comparison of metaheuristic optimization algorithms for dimensional synthesis of a spherical parallel manipulator
- 279.- Porous geopolymer as a possible template for a phase change material
- 280.- Mathematical deduction of a new model for calculation of heat transfer by condensation inside pipes
- 281.- Fire spread upslope: Numerical simulation of laboratory experiments
- 282.- Anisotropic dispersion with a consistent smoothed particle hydrodynamics scheme
- 283.- Design of plate-fin surfaces for multi-fluid heat exchanger applications
- 284.- Energy optimization of a domestic refrigerator controlled by a fuzzy logic system using the status of the door [Optimisation énergétique d'un réfrigérateur domestique contrôlé par un système de logique floue utilisant le statut de la porte]
- 285.- Polymerization of ϵ -caprolactone with degraded PET for its functionalization
- 286.- Theoretical modeling and experimental validation of a small capacity diffusion-absorption refrigerator [Modélisation théorique et validation expérimentale d'un réfrigérateur à absorption-diffusion de faible puissance]
- 287.- Pharmacological activation of dopamine D₄ receptor modulates morphine-induced changes in the expression of GAD65/67 and GABAB receptors in the basal ganglia
- 288.- Polysialic acid is expressed in human naïve CD4⁺ T cells and is involved in modulating activation
- 289.- New physics signature in $D(D^*) \rightarrow f$ effective width asymmetries
- 290.- Indoor ins/UWB-based human localization with missing data utilizing predictive uir filtering
- 291.- Recovery of cobalt from spent lithium-ion mobile phone batteries using liquid-liquid extraction
- 292.- Similarities between homopolymers and triblock copolymers derived from poly(ϵ -caprolactone) (PCL) macrodiols (HOPCL-E-PCL-OH and HOPCL-PEG-PCL-OH) and their poly(ester-ether-urethanes): synthesis and characterization
- 293.- Four-step current commutation strategy for a matrix converter based on enhanced-PWM MCU peripherals
- 294.- Nutritional and immunological evaluation of juvenile spiny lobsters *Panulirus argus* (Latreille, 1804) (Decapoda: Achelata: Palinuridae) naturally infected with the PaV1 virus
- 295.- One- and two-dimensional carbon nanomaterials as adsorbents of cationic and anionic dyes from aqueous solutions
- 296.- Bogdanov map for modelling a phase-conjugated ring resonator
- 297.- Environmental impact and occupational hazard evaluation on intensified processes to produce diphenyl carbonate
- 298.- Stable IL-activation in an inflammasome signalling model depends on positive and negative feedbacks and tight regulation of protein production

- 299.- Structural and electrical properties of ru0.9m0.1sr2gdcu2?8 system with m = zr, mo, and mn
- 300.- Isolation and molecular identification of arsenic resistant microorganisms coming from Xichu River, GTO. Mexico.
- 301.- The mine tailings as construction material in the viceregal period: Case study in Guanajuato City, Mexico
- 302.- Determination of sulfonated azo dyes in chili powders by MALDI-TOF MS
- 303.- Dandy-Walker malformation. The CRIT protocol. A propos of a case [Malformación de Dandy-Walker. Protocolo de intervención en CRIT. A propósito de un caso]

Ponencias

- 1.- Have you been on a mine site? The SMI-JKMRC student venture
- 2.- Investigating fine particle recovery in the lead flotation circuit of Minera Fresnillo
- 3.- A Novel Evolutionary Morphological Descriptor for the Segmentation of Coronary Arteries
- 4.- Energy management within a non-autonomous microgrid through a tertiary controller
- 5.- A new improvement scheme of spiral algorithm (Performance Test)
- 6.- Age and gender identification in unbalanced social media
- 7.- EMBD-based methodology for broken rotor bar detection in VSD fed induction motors
- 8.- Experimental demonstration of transmission of High Definition Television signal using a microwave photonic notch filter
- 9.- Experimental validation of the broken rotor bar fault evolution in line-fed induction motors
- 10.- Fiducial features extraction for ECG signals using state-space unbiased FIR smoothing
- 11.- Prediction of personality traits in twitter users with latent features
- 12.- Chemical and stable isotope composition of surface and groundwater in the surroundings of the Los Humeros Caldera, Puebla, Mexico
- 13.- CIC cable technologies for high-current windings
- 14.- Ring erbium doped fiber laser cavity for multi-wavelength generation based on inline modal fiber interferer
- 15.- Broken-Rotor-Bar Detection Through STFT and Windowing Functions
- 16.- Study of nonlinear optical refractive index in thin films formed by bloom gelatin and organic materials
- 17.- Simultaneous transmission of HD-TV signal, using two microwave photonic notch filters
- 18.- Detection of stator faults in induction motors using alpha-beta transform and image analysis
- 19.- Matrix converter for grid applications with controllable input reactive power based on the singular value decomposition modulation
- 20.- Growth inhibition of Staphylococcus Aureus by a combined treatment of ZnO nanoparticles and femtosecond laser light
- 21.- Obtaining a broad spectrum source in the visible spectrum by means of 2 conventional thin core fibers
- 22.- Experimental study of the spectral width and flatness of a supercontinuum spectrum with several setups of optical fiber
- 23.- Multi-wavelength ring fiber laser cavity based on loop modal fiber optic interferometer

Memorias

No se han agregado **Memorias**

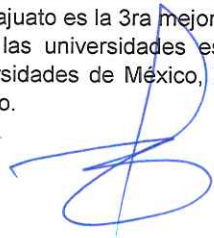
Patentes

- 1.- Proceso para la producción de Tetraetoxisilano vía tetracloruro de silicio en un equipo de reacción-separación.
- 2.- Esquema de trazado de circuito integrado aplicable a dispositivos para medir el consumo de potencia eléctrica
- 3.- Reactor de electrocoagulación de flujo ascendente para la remoción de arsénico, flúor, y sílica hidratada contenidos en agua
- 4.- Dispositivo para determinar huellas hídricas por gravimetría en macetas

- 5.- Bobina superconductor para generador lineal y método de optimización
- 6.- Modelo industrial de laboratorio móvil para diagnóstico, eficiencia energética e integración de procesos
- 7.- Modelo industrial de carril de nado contraflujo
- 8.- Dispositivo tipo difusor para piscina de nado contraflujo
- 9.- Conjugados del fármaco RG108-péptido PP1 para la inhibición de metilación del ADN en macrófagos
- 10.- Fármaco SGI-1027 encapsulado en nanopartículas de albúmina sérica humana para la inhibición de la metilación del ADN en macrófagos
- 11.- Blindaje de bajo costo utilizando resinas y fibras naturales
- 12.- Disipador de calor semiesférico ramificado y aletado para sistemas de iluminación LED
- 13.- Modelo industrial de disipador de calor semiesférico ramificado y aletado para sistemas de iluminación LED
- 14.- Colector difusor para celdas de combustible de generación eléctrica con campo de flujo interdigitado con canales paralelos concéntricos
- 15.- Modelo industrial de carril modular de nado contraflujo

12.- Otros aspectos

El avance integral de la institución se hace evidente a través de la posición ocupada en distintos rankings internacionales. Ranking QS 2019. Ubica a nuestra institución entre las 10 mejores universidades públicas de México y entre las 5 mejores universidades estatales de México. Ranking 2019 Times Higher Education. En el ámbito de la Visibilidad internacional, la Universidad de Guanajuato es la 3ra mejor entre las universidades de México, la segunda mejor entre universidades públicas de México y la primera entre las universidades estatales de México. Citas Académicas. Nuestra institución se considera como la 5a mejor entre las universidades de México, la 4a mejor entre universidades públicas de México y la 2a mejor entre las universidades estatales de México.



Dr. Luis Felipe Guerrero Agripino
Rector General



Dr. Sergio Antonio Silva Muñoz
Responsable del proyecto



